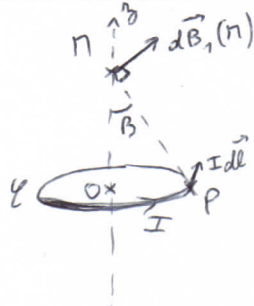


PREMIER PROBLEME: Etude d'une bobine inductive
(d'après banque PT 2009)

A) ETUDE D'UNE BOBINE PLATE:



$$d\vec{B}_1(n) = \frac{\mu_0 I}{4\pi} \frac{d\vec{l} \wedge \vec{Pn}}{Pn^3}$$

A-1) Tout plan contenant l'axe (Oz) est plan d'antisymétrie de la distribution de courant.

\Rightarrow en $\Pi \in (Oz)$, $\vec{B}_1(n)$ est porté par \vec{u}_z
(car \vec{B} est un pseudo-vecteur)

$$\vec{B}_1(n) = \frac{\mu_0 I}{4\pi Pn^3} \oint d\vec{l} \wedge \vec{Pn}$$

$$\text{or } \sin \beta = \frac{R}{Pn} \Rightarrow Pn = \frac{R}{\sin \beta}$$

$$\vec{B}_1(n) \text{ est porté par } \vec{u}_z \Rightarrow \vec{B}_1(n) = B_{1z} \vec{u}_z$$

$$\text{avec } B_{1z} = \vec{B}_1(n) \cdot \vec{u}_z$$

$$= \frac{\mu_0 I}{4\pi R^3} \sin^3 \beta \left(\oint d\vec{l} \wedge \vec{Pn} \right) \cdot \vec{u}_z$$

$$\vec{u}_z = \vec{e}_z \rightarrow = \frac{\mu_0 I \sin^3 \beta}{4\pi R^3} \oint (d\vec{l} \wedge \vec{Pn}) \cdot \vec{u}_z$$

$$(d\vec{l} \wedge \vec{Pn}) \cdot \vec{u}_z = (Pn \wedge \vec{u}_z) \cdot d\vec{l} = Pn \sin \beta dl$$

↑
permutation
circulaire

$$= R dl$$

$$= R^2 d\theta$$

$$\Rightarrow \vec{B}_1(n) = \frac{\mu_0 I \sin^3 \beta}{4\pi R^3} \int_{-\pi}^{\pi} R^2 d\theta \vec{u}_z$$

$$\vec{B}_1(n) = \frac{\mu_0 I}{2R} \sin^3 \beta \vec{u}_z$$

$$\text{en } O, \beta = \frac{\pi}{2} \Rightarrow \vec{B}_1(O) = \frac{\mu_0 I}{2R} \vec{u}_z$$

A-2) on a N spires sur une largeur $(R_2 - R_1)$
on a dN de

$$dN = \frac{N dr}{R_2 - R_1}$$

$$dB(O) = dN \frac{\mu_0 I}{2r} \vec{u}_z$$

$$dB(O) = \frac{\mu_0 N I}{2(R_2 - R_1)} \frac{dr}{r} \vec{u}_z$$

$$A-3) \vec{B}(O) = \int_{R_1}^{R_2} dB(O) = \frac{\mu_0 N I}{2(R_2 - R_1)} \ln \frac{R_2}{R_1} \vec{u}_z$$

$$\vec{B}(O) = \frac{\mu_0 N I}{2(R_2 - R_1)} \ln \frac{R_2}{R_1} \vec{u}_z$$

$$A-4) \underline{AN}: \vec{B}(O) = 6 \mu T$$

A-5) Le plan (Oxy) est plan de symétrie de la distribution de courant. Donc en $\Pi \in (Oxy)$
 $\vec{B}(n) \perp$ à ce plan (car \vec{B} pseudo-vecteur)

$$\Rightarrow \text{en } \Pi \in (Oxy), \vec{B}(n) = B(n) \vec{u}_z$$

flux à travers une spire de rayon r : $\iint B(n) \text{ridi}$

car on a invariance de la distribution de courant par rotation autour de $(Oz) \Rightarrow B(\phi)$

$$\Rightarrow \text{flux} = 2\pi \int_0^r B \text{ridi}$$

flux à travers les dN spires comprises entre r et $r+dr$:

$$d\phi = dN \int_0^r B_r' di'$$

$$\text{or } dN = \frac{N}{R_2 - R_1} dr$$

$$\Rightarrow d\phi = \frac{2\pi N}{R_2 - R_1} dr \int_0^r B_r' di'$$

flux propre $\phi = \int d\phi$

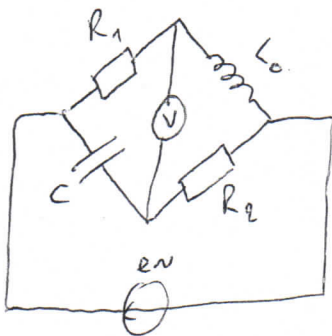
$$\phi = \frac{2\pi N}{R_2 - R_1} \int_{R_1}^{R_2} \int_0^r B_r' di' dr$$

$$\phi = L_0 I \Rightarrow L_0 = \frac{2\pi N}{I(R_2 - R_1)} \int_{R_1}^{R_2} \int_0^r B_r' di' dr$$

L_0 ne dépend pas de la valeur de I .

En effet, d'après la loi de Biot et Savart, B est proportionnel à I .

A.6) montage permettant de mesurer L_0 : pont de Maxwell



Quand le pont est équilibré ($V=0$),

$$\text{on a } R_1 R_2 = j\omega L_0 \frac{1}{j\omega C}$$

$$\Rightarrow L_0 = R_1 R_2 C$$

\Rightarrow connaissant R_1, R_2 etc,

on en déduit L_0 .

B) ROBINNE REELLE

B-1) $i(t) \Rightarrow \vec{B}(t) \Rightarrow$ le conducteur est placé dans

$\vec{B}(t) \Rightarrow$ apparaissent des courants dans le conducteur, qui créent eux-mêmes un champ

magnétique induit \Rightarrow le flux magnétique, donc l'inductance, est changé.

* μ_0 remplacé par $\mu \Rightarrow \vec{B}$ changé $\Rightarrow L$ changé
B-2) L'inductance de la bobine augmente quand on y introduit un noyau de fer.

$$L > L_0 \quad (\text{car } \mu_r > 1 \Rightarrow \mu > \mu_0 \text{ et } B \propto \mu)$$

$$\text{B-3)} \quad P_{\text{eff}} = U_{\text{eff}} I_{\text{eff}} \cos \varphi$$

P_{eff} dépend de la position de la bobine par rapport à la pièce. En effet, I_{eff} et φ dépendent de L .

DEUXIEME PROBLEME: Principe du moteur synchrone
(d'après CCP PSI)

1) Stator de la machine synchrone: production d'un champ tournant:

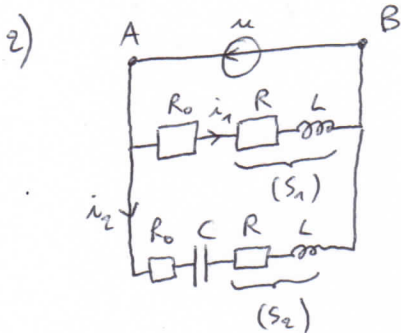
1) * Tout plan contenant (Ox) est plan d'antisymétrie de la distribution de courant 1.

$$\Rightarrow \vec{B}(0) \in \text{à l'intersection de tous ces plans}$$

$$\Rightarrow \vec{B}(0) = \vec{B}_1 \propto \vec{e}_x$$

* Autre méthode: le plan y_0z_0 est plan de symétrie de la distribution de courant 1.

$$\Rightarrow \vec{B}(0) \perp y_0z_0 \Rightarrow \vec{B}_1 \propto \vec{e}_x$$



* loi des mailles dans la maille du haut:

$$u = (R_0 + R + jL\omega_0) i_1 \Rightarrow i_1 = \frac{u}{R_0 + R + jL\omega_0}$$

$$\Rightarrow I_1 e^{-j\varphi_1} = \frac{U}{R_0 + R + jL\omega_0}$$

$$\Rightarrow I_1 = \frac{U}{\sqrt{(R_0 + R)^2 + (L\omega_0)^2}}$$

$$-\varphi_1 = \arg\left(\frac{1}{R_0 + R + jL\omega_0}\right)$$

$$\Rightarrow \varphi_1 = \arg\left(\underbrace{(R_0 + R)}_{>0} + j \underbrace{L\omega_0}_{>0}\right) \Rightarrow \varphi_1 \in [0, \frac{\pi}{2}]$$

$$\text{et } \tan \varphi_1 = \frac{L\omega_0}{R_0 + R}$$

* De même, $I_2 e^{-j\varphi_2} = \frac{U}{R_0 + R + jL\omega_0 + \frac{1}{jC\omega_0}}$

$$I_2 = \frac{U}{\sqrt{(R_0 + R)^2 + \left(L\omega_0 - \frac{1}{C\omega_0}\right)^2}}$$

$$\varphi_2 = \arg\left[\underbrace{(R_0 + R)}_{>0} + j\left(L\omega_0 - \frac{1}{C\omega_0}\right)\right] \Rightarrow \varphi_2 \in \left[-\frac{\pi}{2}, \frac{\pi}{2}\right]$$

$$\tan \varphi_2 = \frac{L\omega_0 - \frac{1}{C\omega_0}}{R_0 + R}$$

3) a) * $I_1 = I_2 \Rightarrow (L\omega_0)^2 = \left(L\omega_0 - \frac{1}{C\omega_0}\right)^2$

$$\Rightarrow L\omega_0 = \pm \left(L\omega_0 - \frac{1}{C\omega_0}\right) = -L\omega_0 + \frac{1}{C\omega_0}$$

impossible sinon (C infini)

$$\Rightarrow 2L\omega_0 = \frac{1}{C\omega_0} \Rightarrow C = \frac{1}{2L\omega_0^2}$$

* $\varphi_2 - \varphi_1 = -\frac{\pi}{2} \Rightarrow \varphi_2 = \varphi_1 - \frac{\pi}{2}$

$$\Rightarrow \tan \varphi_2 = \tan\left(\varphi_1 - \frac{\pi}{2}\right) = \frac{-1}{\tan \varphi_1}$$

$$\Rightarrow \tan \varphi_1 \tan \varphi_2 = -1$$

$$\Rightarrow \frac{L\omega_0}{R_0 + R} \cdot \frac{L\omega_0 - \frac{1}{C\omega_0}}{R_0 + R} = -1$$

or $C = \frac{1}{2L\omega_0^2} \Rightarrow L\omega_0(L\omega_0 - 2L\omega_0) = -(R_0 + R)^2$

$$L^2\omega_0^2 = (R_0 + R)^2 \Rightarrow R_0 = L\omega_0 - R$$

3) b) $\tan \varphi_1 = \frac{L\omega_0}{R_0 + R} = \frac{L\omega_0}{L\omega_0} = 1$ et $\varphi_1 \in [0, \frac{\pi}{2}]$

$$\Rightarrow \varphi_1 = +\frac{\pi}{4}$$

$$\varphi_2 - \varphi_1 = -\frac{\pi}{2} \Rightarrow \varphi_2 = -\frac{\pi}{4}$$

4) $I_1 = I_2 = \frac{U}{\sqrt{(R_0 + R)^2 + (L\omega_0)^2}} = \frac{U}{L\omega_0 \sqrt{2}}$
 $L\omega_0 = R_0 + R$

$$B_x = B_1(t) = K i_1(t) = K I_1 \sqrt{2} \cos(\omega_0 t - \varphi_1)$$

$$B_x = K \frac{U}{L\omega_0 \sqrt{2}} \sqrt{2} \cos\left(\omega_0 t - \frac{\pi}{4}\right)$$

$$B_x = \frac{KU}{L\omega_0} \cos\left(\omega_0 t - \frac{\pi}{4}\right)$$

$$B_y = B_z(t) = \dots = \frac{KU}{L\omega_0} \cos(\omega_0 t + \frac{\pi}{4})$$

$$\cos(\omega_0 t + \frac{\pi}{4}) = \cos(\omega_0 t - \frac{\pi}{4} + \frac{\pi}{2}) = -\sin(\omega_0 t - \frac{\pi}{4})$$

$$B_y = -\frac{KU}{L\omega_0} \sin(\omega_0 t - \frac{\pi}{4})$$

$$B_T = \|\vec{B}\| = \sqrt{B_x^2 + B_y^2} = \frac{KU}{L\omega_0} \sqrt{\cos^2(\omega_0 t - \frac{\pi}{4}) + \sin^2(\omega_0 t - \frac{\pi}{4})}$$

$$B_T = \frac{KU}{L\omega_0}$$

$$\vec{B} = B_T \left[\cos(\omega_0 t - \frac{\pi}{4}) \vec{e}_x - \sin(\omega_0 t - \frac{\pi}{4}) \vec{e}_y \right]$$

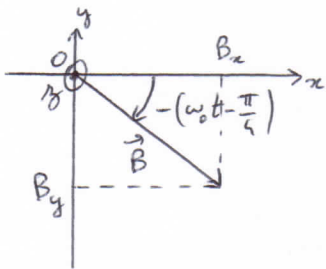
5) a) $B_x = B_T \cos \alpha$ et $B_y = B_T \sin \alpha$

avec $\alpha = -(\omega_0 t - \frac{\pi}{4})$

$\Rightarrow \|\vec{B}\| = B_T = c^{te}$ et \vec{B} fait l'angle $\alpha = -(\omega_0 t - \frac{\pi}{4})$

avec l'axe (Ox) .

$\Rightarrow \vec{B}$ est un champ tournant.



5) b) \vec{B} tourne à la vitesse (ω_0) autour de l'axe (Oz) dans le plan (xOy) .

2) Entraînement du rotor du moteur synchrone :

1) $\theta(t) = (\vec{M}, \vec{B}) = (\vec{M}, O_x) + (O_x, \vec{B})$

$\alpha(O_x, \vec{B}) = -(\omega_0 t - \frac{\pi}{4})$

$(O_x, \vec{M}) = -\omega t + c^{te}$

$\Rightarrow \theta(t) = -\omega_0 t + \frac{\pi}{4} + \omega t - c^{te} = (\omega - \omega_0)t + c^{te}$

ou $\theta(0) = c^{te} = \theta_0$

$\Rightarrow \theta(t) = (\omega - \omega_0)t + \theta_0$

$$\Gamma(t) = d\vec{M}(t) \wedge \vec{B}(t) = M_0 B_T \sin((\omega - \omega_0)t + \theta_0) \vec{e}_z = \vec{\Gamma}(t)$$

2) Si $\omega \neq \omega_0$, alors $\langle \sin((\omega - \omega_0)t + \theta_0) \rangle = 0$
donc $\langle \Gamma(t) \rangle = 0$

Le couple moteur a une valeur moyenne non nulle que si $\omega = \omega_0$. (\Rightarrow moteur "synchrone")

3) 1) $\omega = \omega_0 \Rightarrow \theta = \theta_0 = c^{te} \Rightarrow \Gamma(t) = M_0 B_T \sin \theta_0$
 $\Rightarrow \Gamma_0 = M_0 B_T \sin \theta_0$

3) 2) Fonctionnement moteur si puissance $P = \vec{\Gamma}(t) \cdot \vec{\omega}(t) > 0$
 $\Rightarrow \alpha - \vec{e}_z \quad \alpha - \vec{e}_z$

$\Rightarrow \Gamma_0 < 0 \Rightarrow \sin \theta_0 < 0$

$\Rightarrow \theta_0 \in [-\pi, 0]$ ($\theta = \theta_0$)

3) 3) $P_{m\acute{e}c} = \vec{\Gamma}(t) \cdot \vec{\omega}(t) = (M_0 B_T \sin \theta_0 \vec{e}_z) \cdot (-\omega_0 \vec{e}_z)$
 $= -M_0 B_T \omega_0 \sin \theta_0$

$$P_{m\acute{e}c} = M_0 B_T \omega_0 |\sin \theta_0|$$

3) 4) Le moteur ne peut démarrer que si $|\Gamma_0|$ peut être supérieur à Γ_n .

\Rightarrow il faut donc que $|\Gamma_0|_{\max} > \Gamma_n$

soit $\Gamma_n < M_0 B_T$

Rq: Inverser le sens d'enroulement de la bobine ? aurait permis d'avoir un sens de rotation positif du moteur.

Ici, il y avait visiblement des erreurs d'énoncé (l'énoncé a été retravaillé...).

TROISIEME PROBLEME: Réflexion d'une OPPH sur une plaque métallique (d'après banque PT 2003)

A) Réflexion sur un pbn conducteur parfait:

A-1) éq. Maxwell-Gauss: $\text{div } \vec{E} = \frac{\rho}{\epsilon_0} = 0$ ($\rho = 0$ au vide)

éq. Maxwell-flux: $\text{div } \vec{B} = 0$

éq. Maxwell-Faraday: $\text{rot } \vec{E} = -\frac{\partial \vec{B}}{\partial t}$

éq. Maxwell-Ampère: $\text{rot } \vec{B} = \mu_0 \left(\vec{j} + \epsilon_0 \frac{\partial \vec{E}}{\partial t} \right) = \mu_0 \epsilon_0 \frac{\partial \vec{E}}{\partial t}$
 $\vec{j} = \vec{0}$ (vide)

$\text{div } \vec{E} = 0$; $\text{div } \vec{B} = 0$; $\text{rot } \vec{E} = -\frac{\partial \vec{B}}{\partial t}$; $\text{rot } \vec{B} = \mu_0 \epsilon_0 \frac{\partial \vec{E}}{\partial t}$

A-2) $\text{rot rot } \vec{E} = \text{grad div } \vec{E} - \Delta \vec{E}$
 $= \text{rot} \left(-\frac{\partial \vec{B}}{\partial t} \right) = -\frac{\partial}{\partial t} (\text{rot } \vec{B}) = -\mu_0 \epsilon_0 \frac{\partial^2 \vec{E}}{\partial t^2}$

$\Delta \vec{E} - \mu_0 \epsilon_0 \frac{\partial^2 \vec{E}}{\partial t^2} = \vec{0}$

$\square \vec{E} = \Delta \vec{E} - \frac{1}{c^2} \frac{\partial^2 \vec{E}}{\partial t^2} = \vec{0}$ ($\mu_0 \epsilon_0 c^2 = 1$)

d'Alembertien

C'est l'équation de d'Alembert.

A-3) $\vec{E}_i = E_0 \cos(\omega t + ky) \vec{u}_x$

$\square \vec{E}_i = \vec{0} \Rightarrow \square E_{ix} = 0$

$\Rightarrow \frac{\partial^2 E_{ix}}{\partial x^2} + \frac{\partial^2 E_{ix}}{\partial y^2} + \frac{\partial^2 E_{ix}}{\partial z^2} - \frac{1}{c^2} \frac{\partial^2 E_{ix}}{\partial t^2} = 0$

$\Rightarrow -k^2 E_0 \cos(\omega t + ky) - \frac{1}{c^2} (-\omega^2 E_0 \cos(\omega t + ky)) = 0$

$\Rightarrow k^2 = \frac{\omega^2}{c^2} \Rightarrow \frac{\omega}{k} = c$ c'est la relation de dispersion

A-4) $\text{rot } \vec{E}_i = -\frac{\partial \vec{B}_i}{\partial t}$

$\text{rot } \vec{E}_i = \begin{vmatrix} \vec{u}_x & \vec{u}_y & \vec{u}_z \\ \frac{\partial}{\partial x} & \frac{\partial}{\partial y} & \frac{\partial}{\partial z} \\ E_0 \cos(\omega t + ky) & 0 & 0 \end{vmatrix} = \begin{pmatrix} 0 \\ 0 \\ +k E_0 \sin(\omega t + ky) \end{pmatrix}$

$\Rightarrow \frac{\partial \vec{B}_i}{\partial t} = -k E_0 \sin(\omega t + ky) \vec{u}_z$

$\Rightarrow \vec{B}_i = \frac{k}{\omega} E_0 \cos(\omega t + ky) \vec{u}_z$

$\vec{B}_i = \frac{E_0}{c} \cos(\omega t + ky) \vec{u}_z$ amplitude: $B_0 = \frac{E_0}{c}$

Et: on a bien $\vec{B}_i = \frac{\vec{k}_i \wedge \vec{E}_i}{\omega} = \frac{-k \vec{u}_y \wedge E_0 \cos(\omega t + ky) \vec{u}_x}{\omega} = \frac{E_0}{c} \cos(\omega t + ky) \vec{u}_z$

équation de propagation:

$\text{rot rot } \vec{B} = \text{grad div } \vec{B} - \Delta \vec{B}$
 $= \text{rot} \left(\mu_0 \epsilon_0 \frac{\partial \vec{E}}{\partial t} \right) = \frac{1}{c^2} \frac{\partial}{\partial t} (\text{rot } \vec{E}) = -\frac{1}{c^2} \frac{\partial^2 \vec{B}}{\partial t^2}$

$\Rightarrow \square \vec{B}_i = \Delta \vec{B}_i - \frac{1}{c^2} \frac{\partial^2 \vec{B}_i}{\partial t^2} = \vec{0}$

A-5) σ en $C.m^{-2}$
 \vec{j}_s en $A.m^{-1}$

* Dans le conducteur parfait: $\vec{j} = \gamma \vec{E} \Rightarrow \vec{E} = \vec{0}$
 (c'est nul)

$\Rightarrow \vec{B} = \vec{0}$ (d'après l'équation de Maxwell-Ampère et l'équation de Maxwell-Faraday)

$\vec{E} = \vec{0}$ et $\vec{B} = \vec{0}$ dans le métal conducteur parfait

* relations de passage en $y=0$

$\vec{E}_r - \vec{E}_n = \frac{\sigma}{\epsilon_0} \vec{u}_n \Rightarrow \vec{E}(y=0^+) - \vec{E}(y=0^-) = \frac{\sigma}{\epsilon_0} \vec{u}_y$

$(\vec{E}_i + \vec{E}_r)_{y=0^+} = \frac{\sigma}{\epsilon_0} \vec{u}_y$

conducteur parfait

On a toujours continuité de la composante tangentielle du champ électrique à la traversée d'une surface chargée.

$$\vec{B}_2 - \vec{B}_1 = \mu_0 \vec{j}_s \wedge \vec{n}_{21} \Rightarrow \vec{B}(y=0^+) - \vec{B}(y=0^-) = \mu_0 \vec{j}_s \wedge \vec{n}_{21}$$

cond. parfait

$$\Rightarrow \left(\vec{B}_i + \vec{B}_r \right)_{y=0^+} = \mu_0 \vec{j}_s \wedge \vec{n}_y$$

A-6) Les ondes incidentes et réfléchies ont même fréquence car la réflexion n'entraîne pas de changement de fréquence

$$\vec{k}_i = -k \vec{u}_y = -\frac{\omega}{c} \vec{u}_y \text{ car l'onde se propage selon } -\vec{u}_y$$

L'onde réfléchie se propage selon $+\vec{u}_y$

$$\Rightarrow \vec{k}_r = +k \vec{u}_y = +\frac{\omega}{c} \vec{u}_y = -\vec{k}_i$$

A-7) on cherche \vec{E}_r de la forme :

$$\vec{E}_r = r E_0 \cos(\omega' t - k' y) \vec{u}_x$$

$$k' = \frac{\omega'}{c} > 0 \text{ (propagation ds sens des } y \text{ croissants) que } E_i \text{ même polarisation}$$

$$\begin{aligned} (\vec{E}_i + \vec{E}_r)_{y=0^+} &= \left(E_0 \cos \omega t + r E_0 \cos \omega' t \right) \vec{u}_x \\ &= \frac{\sigma}{\epsilon_0} \vec{u}_y \end{aligned}$$

$$\text{or } \vec{u}_x \perp \vec{u}_y \Rightarrow \begin{cases} \sigma = 0 \\ E_0 \cos \omega t + r E_0 \cos \omega' t = 0 \end{cases} \forall t$$

$$\Rightarrow \omega = \omega' \text{ cf A-6)}$$

$$\text{et } r = -1 \Rightarrow \vec{E}_r(y=0^+) = -E_0 \cos \omega t \vec{u}_x$$

fg: Il suffit d'écrire la continuité de la composante tangentielle de \vec{E} en $y=0$.

$$\Rightarrow \vec{E}_r = -E_0 \cos(\omega t - k y) \vec{u}_x$$

$$\text{rot } \vec{E}_r = -\frac{\partial B_r}{\partial t}$$

$$\text{rot } \vec{E}_r = \begin{pmatrix} \frac{\partial}{\partial x} \\ \frac{\partial}{\partial y} \\ \frac{\partial}{\partial z} \end{pmatrix} \wedge \begin{pmatrix} -E_0 \cos(\omega t - k y) \\ 0 \\ 0 \end{pmatrix} = \begin{pmatrix} 0 \\ 0 \\ k E_0 \sin(\omega t - k y) \end{pmatrix}$$

$$\Rightarrow \frac{\partial B_r}{\partial t} = -k E_0 \sin(\omega t - k y) \vec{u}_y$$

$$\Rightarrow \vec{B}_r = \frac{k}{\omega} E_0 \cos(\omega t - k y) \vec{u}_y$$

$$\vec{B}_r = \frac{E_0}{c} \cos(\omega t - k y) \vec{u}_y$$

$$\begin{aligned} \text{fg: on a bien } \vec{B}_r &= \frac{\vec{k}_r \wedge \vec{E}_r}{\omega} = \frac{+k \vec{u}_y \wedge (-E_0 \cos(\omega t - k y))}{\omega} \\ &= \frac{E_0}{c} \cos(\omega t - k y) \vec{u}_y \end{aligned}$$

$$\begin{aligned} \text{A-8) } \vec{E}_{\text{tot}} &= \vec{E}_i + \vec{E}_r = E_0 \cos(\omega t + k y) \vec{u}_x \\ &\quad - E_0 \cos(\omega t - k y) \vec{u}_x \end{aligned}$$

$$\text{or } \cos(a+b) - \cos(a-b) = -2 \sin a \sin b$$

$$\Rightarrow \vec{E}_{\text{tot}} = -2 E_0 \sin k y \sin \omega t \vec{u}_x$$

$$\vec{B}_{\text{tot}} = \vec{B}_i + \vec{B}_r = \frac{E_0}{c} \cos(\omega t + k y) \vec{u}_y + \frac{E_0}{c} \cos(\omega t - k y) \vec{u}_y$$

$$\text{or } \cos(a+b) + \cos(a-b) = 2 \cos a \cos b$$

$$\Rightarrow \vec{B}_{\text{tot}} = \frac{2 E_0}{c} \cos k y \cos \omega t \vec{u}_y$$

particularité: le champ électromagnétique total est une onde stationnaire: $E_{\text{tot}} = f(y) g(t)$

$$\text{A-9) } \vec{E}_{\text{tot}}(y=0) = \vec{0}$$

$$\vec{B}_{\text{tot}}(y=0) = \frac{2 E_0}{c} \cos \omega t \vec{u}_y$$

Le plan $y=0$ est un plan nodal pour \vec{E}_{tot}
ventral pour \vec{B}_{tot}
(\vec{B}_{tot} y est maximum)

$\sigma = 0$ car condition de passage (cf A-7)

$$\vec{E}_{\text{tot}}(y=0^+) = \frac{\sigma}{\epsilon_0} \vec{u}_y$$

$= 0$

$$\vec{B}_{\text{tot}}(y=0^+) = 2 \frac{E_0}{c} \cos \omega t \vec{u}_z = \mu_0 \vec{j}_s \wedge \vec{u}_y$$

relation de passage

$\vec{u}_y \wedge (\dots)$

$$\begin{aligned} \rightarrow \mu_0 \left(\vec{j}_s (\vec{u}_y \wedge \vec{u}_y) - \vec{u}_y (\vec{j}_s / \mu_0) \right) &= \mu_0 \vec{j}_s \\ &= 2 \frac{E_0}{c} \cos \omega t \vec{u}_y \wedge \vec{u}_z = \frac{2E_0}{c} \cos \omega t \vec{u}_x \end{aligned}$$

$$\Rightarrow \vec{j}_s = \frac{2E_0}{\mu_0 c} \cos \omega t \vec{u}_x$$

$\sigma = 0$: la surface du conducteur reste localement neutre. L'onde incidente engendre un courant à la surface du conducteur. Comme les e^- sont mis en mouvement par le champ électrique, il est normal que les courants ainsi créés soient parallèles au champ électrique incident (selon \vec{u}_x). Les courants sont à l'origine du champ réfléchi, ce qui explique pourquoi l'onde réfléchie a même fréquence que l'onde incidente.

A-10) densité volumique d'énergie électromagnétique $\mathcal{E} = \frac{1}{2} \epsilon_0 E^2 + \frac{B^2}{2\mu_0}$

$$\begin{aligned} \mathcal{E}_i &= \frac{1}{2} \epsilon_0 E_i^2 + \frac{B_i^2}{2\mu_0} = \frac{1}{2} \epsilon_0 E_0^2 \cos^2(\omega t + ky) \\ &\quad + \frac{E_0^2}{2\mu_0 c^2} \cos^2(\omega t + ky) \end{aligned}$$

or $\mu_0 \epsilon_0 c^2 = 1$

$$\mathcal{E}_i = \epsilon_0 E_0^2 \cos^2(\omega t + ky)$$

$$\mathcal{E}_r = \frac{1}{2} \epsilon_0 E_r^2 + \frac{B_r^2}{2\mu_0}$$

$$\mathcal{E}_r = \epsilon_0 E_0^2 \cos^2(\omega t - ky)$$

$$\begin{aligned} \langle \mathcal{E}_i \rangle &= \langle \mathcal{E}_r \rangle \\ &= \frac{1}{2} \epsilon_0 E_0^2 \end{aligned}$$

$$A-11) \vec{\Pi}_i = \frac{\vec{E}_i \wedge \vec{B}_i}{\mu_0} = \frac{E_0^2}{\mu_0 c} \cos^2(\omega t + ky) \underbrace{\vec{u}_x \wedge \vec{u}_z}_{-\vec{u}_y}$$

$$P_i = \vec{\Pi}_i \cdot (-S \vec{u}_y)$$

propagation suivant $-\vec{u}_y$

$$P_i = \frac{E_0^2 S}{\mu_0 c} \cos^2(\omega t + ky)$$

$$P_i = \epsilon_0 c E_0^2 S \cos^2(\omega t + ky)$$

$$\vec{\Pi}_r = \frac{\vec{E}_r \wedge \vec{B}_r}{\mu_0} = -\frac{E_0^2}{\mu_0 c} \cos^2(\omega t - ky) \underbrace{\vec{u}_x \wedge \vec{u}_z}_{-\vec{u}_y}$$

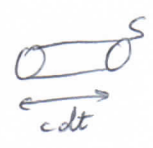
$$P_r = \vec{\Pi}_r \cdot (S \vec{u}_y) \quad (\text{propagation suivant } +\vec{u}_y)$$

$$P_r = \epsilon_0 c E_0^2 S \cos^2(\omega t - ky)$$

$$P_i = \mathcal{E}_i S c$$

$$P_r = \mathcal{E}_r S c$$

C'est logique car $P_i dt$ est l'énergie qui se trouve dans le cylindre de section S et de longueur $c dt$



$$\begin{aligned} P_i dt &= \mathcal{E}_i (S c dt) \\ \Rightarrow P_i &= \mathcal{E}_i S c \end{aligned}$$

$$A-12) \langle P_i \rangle = \frac{1}{2} \epsilon_0 c E_0^2 S$$

$$\langle P_r \rangle = \frac{1}{2} \epsilon_0 c E_0^2 S$$

$$\Rightarrow \langle P_i \rangle = \langle P_r \rangle = \frac{1}{2} \epsilon_0 c E_0^2 S$$

car $\langle \cos^2(\omega t - ky) \rangle = \langle \cos^2(\omega t + ky) \rangle = \frac{1}{2}$

$\langle P_i \rangle = \langle P_r \rangle \Rightarrow$ la réflexion s'effectue sans perte d'énergie (OK car épaisseur de peau nulle \Rightarrow pas de perte par effet Joule)

B) Réflexion de l'onde avec prise en compte de la conductivité du métal :

B-1) $\frac{\gamma}{\delta}$ est sans dimension

$\Rightarrow \delta$ est une longueur en mètre (m)

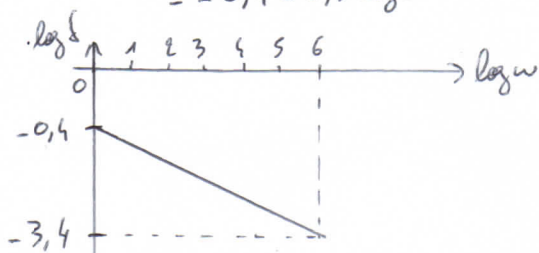
δ est l'épaisseur de peau.

Au-delà d'une profondeur de quelques δ , le champ électromagnétique est quasiment nul dans le conducteur.

$$\delta = \sqrt{\frac{2}{\mu_0 \gamma \omega}} = \left(\frac{2}{\mu_0 \gamma \omega} \right)^{1/2}$$

$$\Rightarrow \log \delta = \frac{1}{2} \log \frac{2}{\mu_0 \gamma} - \frac{1}{2} \log \omega = \frac{1}{2} \log \frac{1}{2\pi} - \frac{1}{2} \log \omega$$

$$= -0,4 - 0,5 \log \omega$$



B-2) Puissance volumique cédée par le champ along à la matière :

$$\frac{dP}{dt} = \vec{j} \cdot \vec{E}$$

loi d'Ohm locale : $\vec{j} = \gamma \vec{E}$

$$\Rightarrow \frac{dP}{dt} = \gamma E^2 = \gamma \left(\sqrt{2} k \delta E_0 e^{\frac{\gamma y}{\delta}} \cos\left(\omega t + \frac{\gamma y}{\delta} + \frac{\pi}{4}\right) \right)^2$$

$$= 2 \gamma k^2 \delta^2 E_0^2 e^{\frac{2\gamma y}{\delta}} \underbrace{\cos^2\left(\omega t + \frac{\gamma y}{\delta} + \frac{\pi}{4}\right)}_{\langle \rangle = \frac{1}{2}}$$

$$\Rightarrow \left\langle \frac{dP}{dt} \right\rangle = \gamma k^2 \delta^2 E_0^2 e^{\frac{2\gamma y}{\delta}}$$

$$\langle P_S \rangle = S \int_{-L}^0 \left\langle \frac{dP}{dt} \right\rangle dy$$

$$= S \gamma k^2 \delta^2 E_0^2 \int_{-L}^0 e^{\frac{2\gamma y}{\delta}} dy$$

$$\langle P_S \rangle = S \gamma k^2 \delta^2 E_0^2 \frac{\delta}{2} \left[e^{\frac{2\gamma y}{\delta}} \right]_{-L}^0$$

$$= S \gamma k^2 \delta^2 E_0^2 \frac{\delta}{2} \left(1 - e^{-\frac{2\gamma L}{\delta}} \right)$$

$0 \ll L \gg \delta$

$$\langle P_S \rangle = \frac{1}{2} S \gamma k^2 \delta^3 E_0^2$$

$$\vec{\Pi}_t = \frac{\vec{E}_t \wedge \vec{B}_t}{\mu_0} = \frac{2\sqrt{2} k \delta E_0^2}{\mu_0 c} e^{\frac{2\gamma y}{\delta}} \cos\left(\omega t + \frac{\gamma y}{\delta} + \frac{\pi}{4}\right) \cos\left(\omega t + \frac{\gamma y}{\delta}\right) \vec{u}_x \wedge \vec{u}_y$$

$$\vec{\Pi}_t(y=0) = \frac{-2\sqrt{2} k \delta E_0^2}{\mu_0 c} \cos\left(\omega t + \frac{\pi}{4}\right) \cos \omega t \vec{u}_y$$

$$\text{or } 2 \cos a \cos b = \cos(a+b) + \cos(a-b)$$

$$\Rightarrow \vec{\Pi}_t(y=0) = \frac{-\sqrt{2} k \delta E_0^2}{\mu_0 c} \left[\cos\left(2\omega t + \frac{\pi}{4}\right) + \cos\left(\frac{\pi}{4}\right) \right] \vec{u}_y$$

$$\langle \vec{\Pi}_t(y=0) \rangle = \frac{-\sqrt{2} k \delta E_0^2}{\mu_0 c} \left[\frac{\sqrt{2}}{2} \right] \vec{u}_y = \frac{-k \delta E_0^2}{\mu_0 c} \vec{u}_y$$

$$\langle P_t \rangle = \langle \vec{\Pi}_t(y=0) \rangle \cdot (-S \vec{u}_y)$$

\uparrow propagation orient $-\vec{u}_y$

$$\Rightarrow \langle P_t \rangle = S \frac{k \delta E_0^2}{\mu_0 c}$$

$$\langle P_t \rangle = \frac{S k \delta E_0^2}{\mu_0 c}$$

$$\langle P_S \rangle = \frac{1}{2} S \gamma k^2 \delta^3 E_0^2$$

$$= \frac{1}{2} S \gamma k k \delta \delta^2 E_0^2$$

$$= \frac{1}{2} S \gamma k \frac{1}{c} \delta \frac{2}{\mu_0 \delta} E_0^2$$

$$= \frac{S k \delta E_0^2}{\mu_0 c}$$

$$\langle P_t \rangle = \langle P_S \rangle$$

la puissance moyenne $\langle P_t \rangle$ rayonnée par l'onde transmise à travers S en $y=0$ est dissipée par effet Joule dans le conducteur dans le cylindre de section S et de longueur L ($L \gg \delta$).

$$\delta = \sqrt{\frac{2}{\mu_0 \sigma \omega}} \quad \left. \begin{array}{l} \omega \text{ finie} \\ \sigma \rightarrow \infty \end{array} \right) \Rightarrow \delta \rightarrow 0$$

\Rightarrow pas d'onde transmise, on retrouve le cas du conducteur parfait étudié dans la partie A)

B-4) on a ici un modèle volumique pour les distributions de charges et de courants \Rightarrow continuité du champ électromagnétique.

$$\Rightarrow (\vec{E}_n + \vec{E}_t)_{y=0^+} = \vec{E}_t(y=0^-)$$

$$\begin{aligned} \Rightarrow \vec{E}_n(y=0) &= \vec{E}_t(y=0) - \vec{E}_n(y=0) \\ &= \sqrt{2} k \delta E_0 \cos(\omega t + \frac{\pi}{4}) \vec{u}_x - E_0 \cos \omega t \vec{u}_x \end{aligned}$$

$$\Rightarrow \vec{E}_n = E_0 \left[\sqrt{2} k \delta \cos(\omega t - ky + \frac{\pi}{4}) - \cos(\omega t - ky) \right] \vec{u}_x$$

$$\vec{B}_n = \frac{\vec{k}_n \wedge \vec{E}_n}{\omega} = \frac{\vec{u}_y \wedge \vec{E}_n}{c}$$

$$\vec{B}_n = \frac{\vec{u}_y \wedge \vec{u}_x}{c} E_0 \left[\sqrt{2} k \delta \cos(\omega t - ky + \frac{\pi}{4}) - \cos(\omega t - ky) \right]$$

$$\Rightarrow \vec{B}_n = -\frac{E_0}{c} \left[\sqrt{2} k \delta \cos(\omega t - ky + \frac{\pi}{4}) - \cos(\omega t - ky) \right] \vec{u}_z$$

$$\text{B-5) } \vec{\Pi}_R = \frac{\vec{E}_n \wedge \vec{B}_n}{\mu_0} = \frac{-E_0^2}{\mu_0 c} \left(\begin{array}{l} \sqrt{2} k \delta \cos(\omega t - ky + \frac{\pi}{4}) \\ - \cos(\omega t - ky) \end{array} \right) \vec{u}_x \wedge \vec{u}_z$$

$$\vec{\Pi}_R = \frac{+E_0^2}{\mu_0 c} \vec{u}_y \left(2k^2 \delta^2 \cos(\omega t - ky + \frac{\pi}{4}) - \sqrt{2} k \delta \left[\cos(2\omega t - 2ky + \frac{\pi}{4}) + \cos(\frac{\pi}{4}) \right] + \cos^2(\omega t - ky) \right)$$

$$\begin{aligned} \langle \vec{\Pi}_R \rangle &= + \frac{E_0^2}{\mu_0 c} \vec{u}_y \left(k^2 \delta^2 - \sqrt{2} k \delta \left[0 + \frac{\sqrt{2}}{2} \right] + \frac{1}{2} \right) \\ &= + \frac{E_0^2}{2\mu_0 c} (1 - 2k\delta) \vec{u}_y \end{aligned}$$

$$\langle P_R \rangle = \langle \vec{\Pi}_R \rangle \cdot (+S \vec{u}_y) \quad \begin{array}{l} \uparrow \\ \text{propagation solo } + \vec{u}_y \end{array}$$

$$\langle P_R \rangle = \frac{S E_0^2}{2\mu_0 c} (1 - 2k\delta)$$

$$\text{B-6) } \langle P_i \rangle = \frac{1}{2} \epsilon_0 c E_0^2 S = \frac{S E_0^2}{2\mu_0 c} \quad (\text{cf A-10})$$

$$\langle P_t \rangle = \frac{S k \delta E_0^2}{\mu_0 c} \quad (\text{cf B-3})$$

$$\Rightarrow \langle P_R \rangle = \langle P_i \rangle - \langle P_t \rangle$$

$$\Rightarrow \langle P_i \rangle = \langle P_R \rangle + \langle P_t \rangle$$

Ceci traduit la conservation de l'énergie.

Remarque: il manque un terme du 1^{er} ordre en $k\delta$ dans l'expression de \vec{B}_t .

En effet, pour la question B-4), on aurait pu déterminer \vec{B}_n par $(\vec{B}_i + \vec{B}_n)_{y=0} = \vec{B}_t(y=0)$. Avec l'expression de \vec{B}_t fournie par l'énoncé, on ne trouve pas le même résultat que celui trouvé en B-4).

A la question B-6), on trouverait alors

$$\langle P_i \rangle = \langle P_R \rangle + \frac{1}{2} \langle P_t \rangle !!!$$

$\uparrow !!!$

ce qui ne traduit pas la conservation de l'énergie !!!